

Решение системы уравнений Бейтмана

Научный руководитель: Попов Д.В.
ассистент каф.40

Студент: Фахрутдинов Э.А.
группа Б22-102

Москва, 2024



Введение

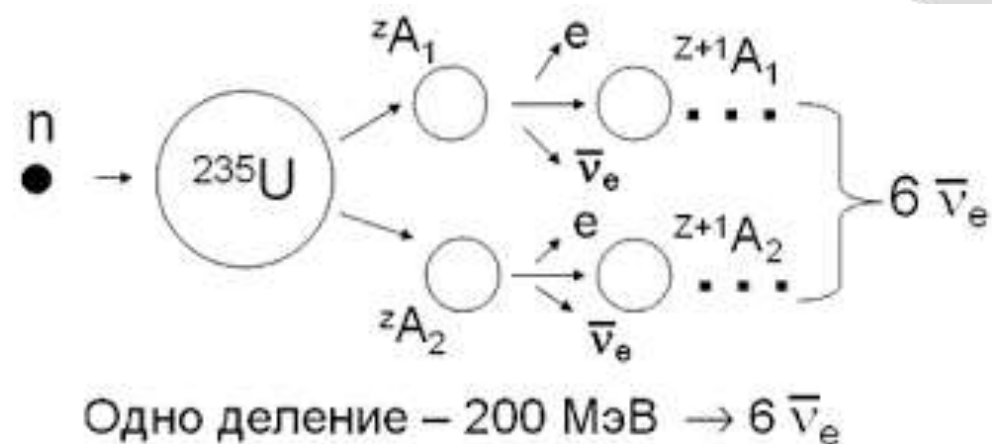
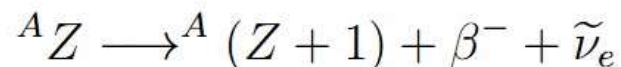


Зависимость энергетического спектра антинейтрино от времени

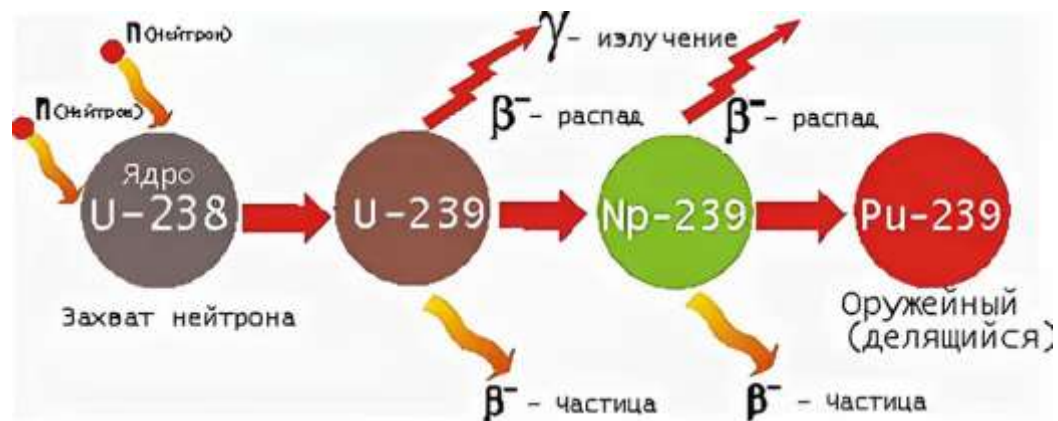
$$S(E, t) = \sum_i A_i(t) S_i(E)$$

$A_i(t)$ - активность i -го изотопа

$S_i(E)$ - спектр электронного антинейтрино, родившегося в результате распада



Реакция деления ядра топлива



Захват нейтрона ядром с последующим β -распадом

Цель данной работы заключается в разработке универсального алгоритма численного решения системы уравнений Бейтмана для описания зависимости активности в цепочке β - распадов для дальнейшего учёта в расчёте энергетических спектров антинейтрино от ядерного реактора.

Задачи

- Изучить методику регистрации нейтрино и расчёта активностей радиоактивных изотопов.
- Проанализировать различные численные методы для решения систем дифференциальных уравнений.
- Написать собственную программу для решения системы уравнений Бейтмана в простейшем приближении и сравнить алгоритм со встроенным системным.

Система уравнений Бейтмана

$$\frac{dB_j(t)}{dt} = -\lambda_j B_j(t) - \sigma_i^c \bar{\Phi} B_j(t) + \sum_{i=1}^p y_{ij} \sigma_i^f \bar{\Phi} U_i(t) + \sum_{m=1}^{j-1} \lambda_{mj} B_m(t) + \sum_{m=1}^{j-1} \sigma_{mj}^c \bar{\Phi} B_m(t)$$

Распад изотопа

Ядерные реакции
(n, γ), (n, 2n)

Наработка за счёт
деления i-ого
изотопа

Наработка за счёт
распада
предыдущих
изотопов в цепочке

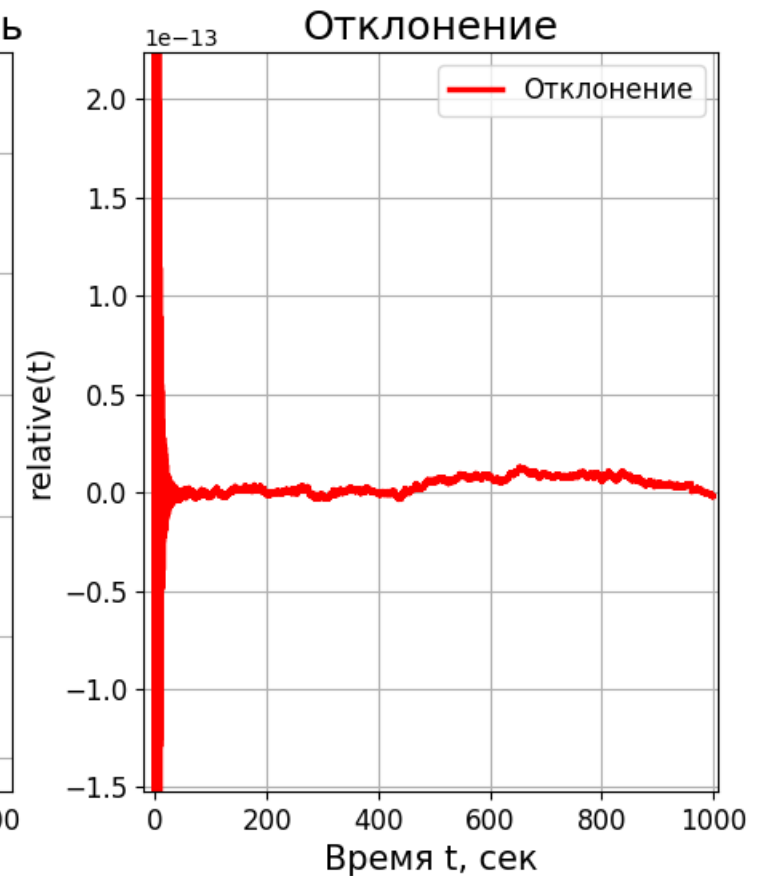
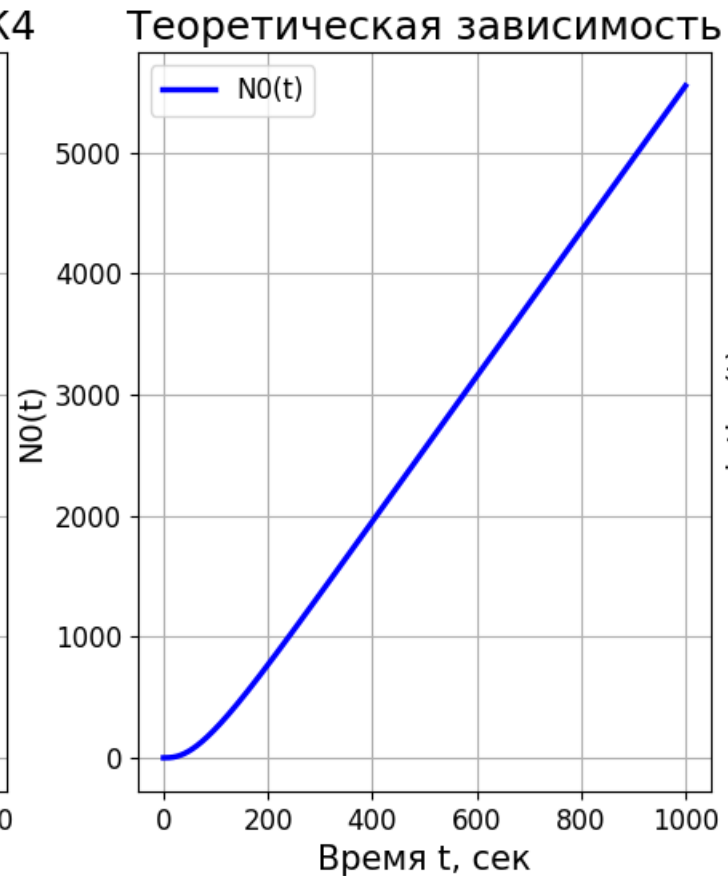
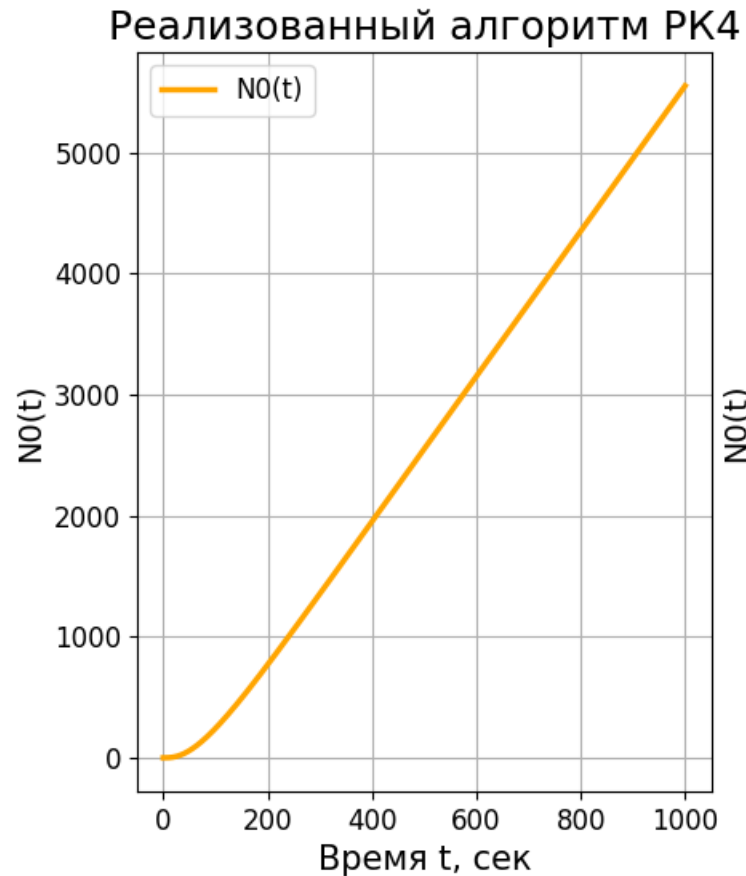
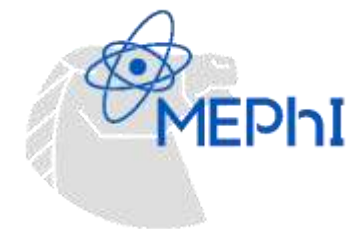
Наработка за счёт
реакций (n, γ), (n, 2n)
на предыдущих
изотопах в цепочке

Решение на примере простейшей системы

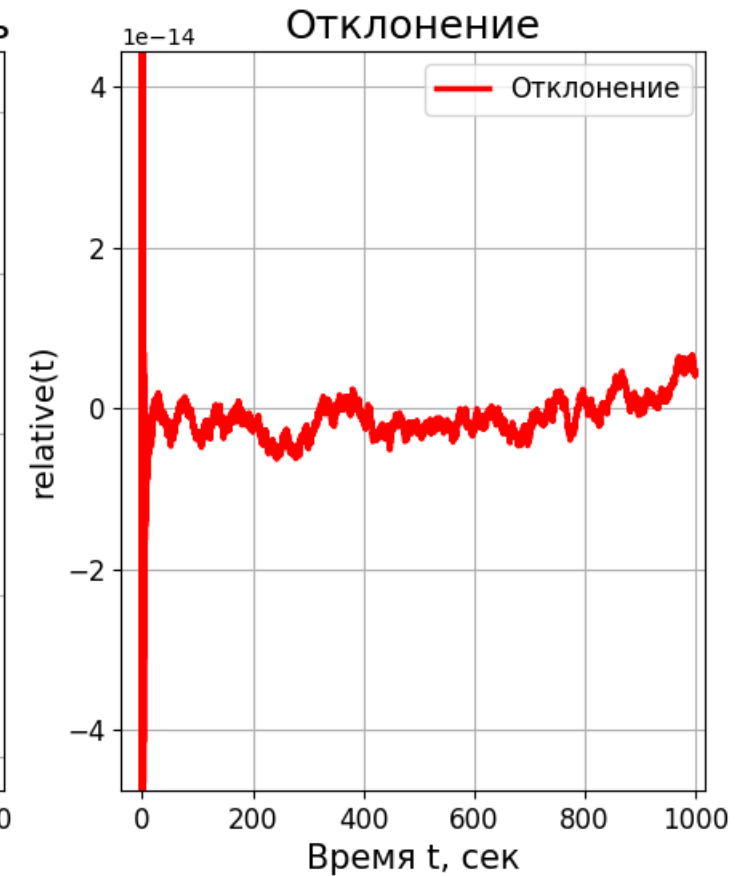
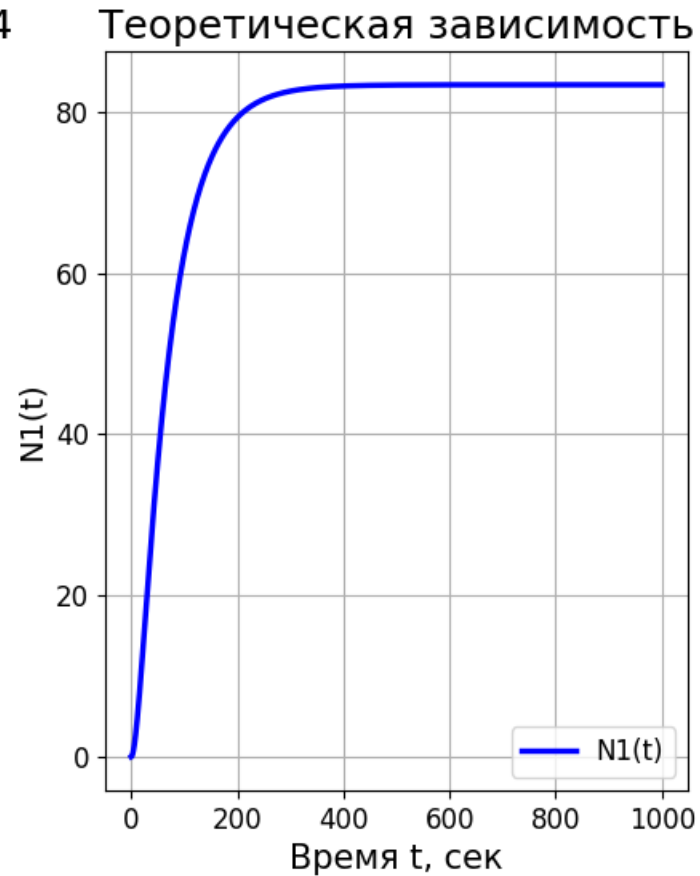
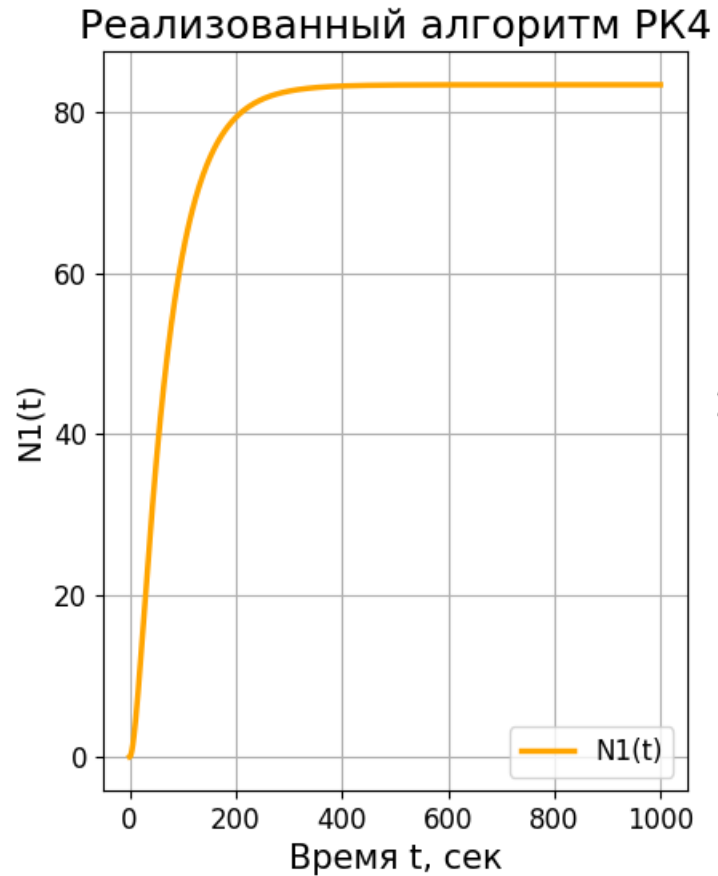
Рассматриваем систему, описывающую радиоактивные превращения в простейшем приближении

$$\begin{cases} \frac{dN_0}{dt} = \lambda_1 N_1 \\ \frac{dN_1}{dt} = -\lambda_1 N_1 + \lambda_2 N_2 \\ \frac{dN_2}{dt} = -\lambda_2 N_2 + R_2 \end{cases}$$

Реализация алгоритма и анализ



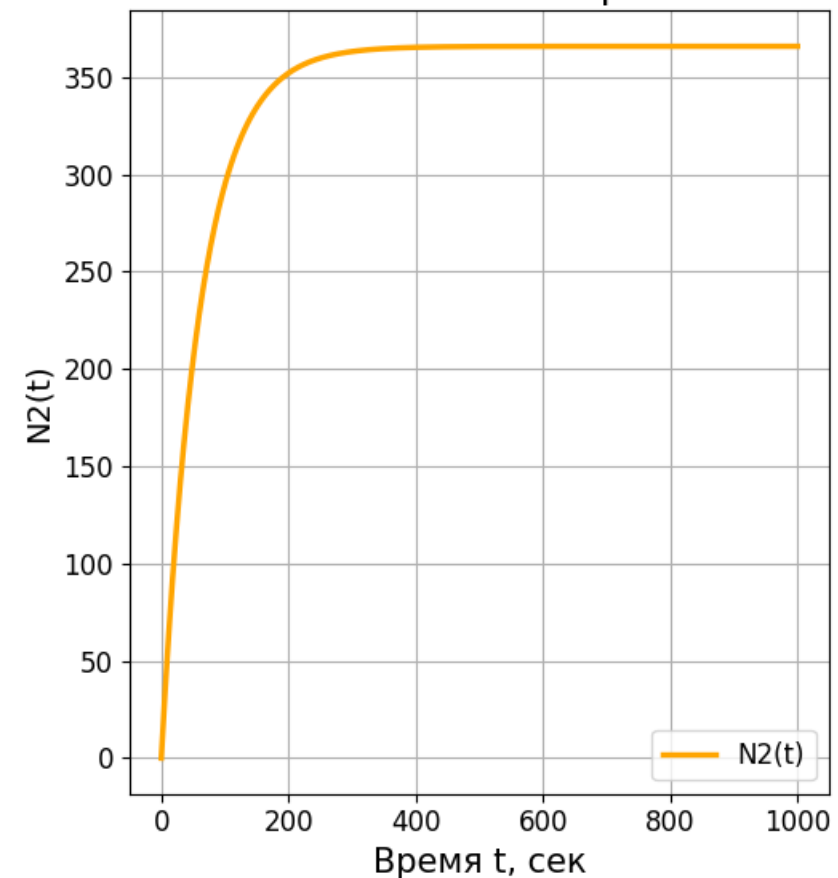
Реализация алгоритма и анализ



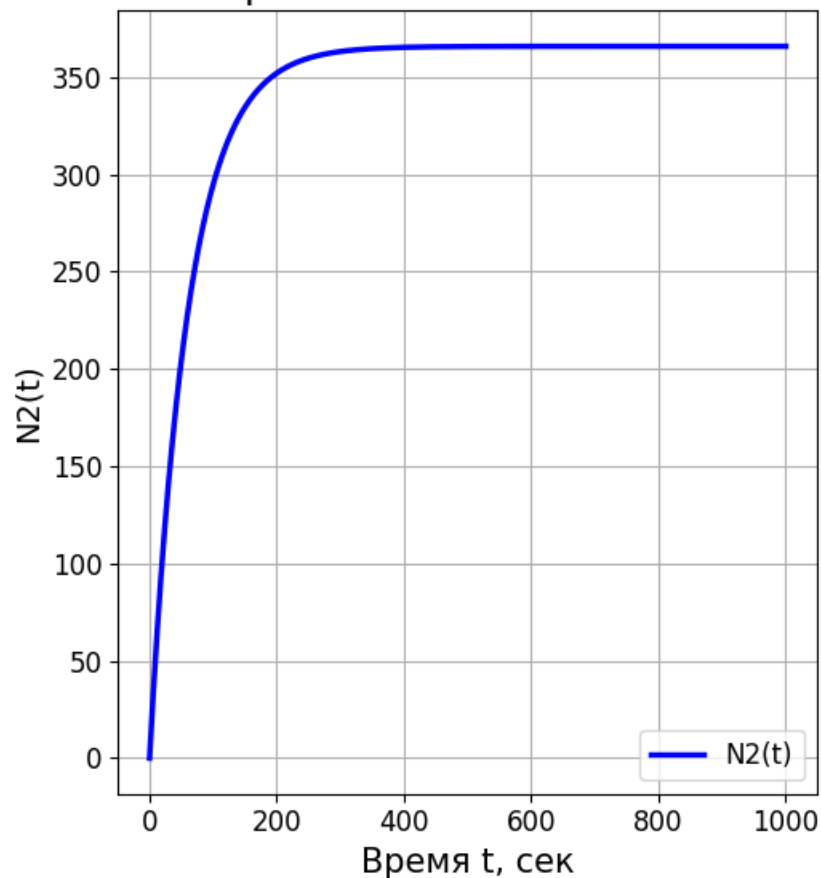
Реализация алгоритма и анализ



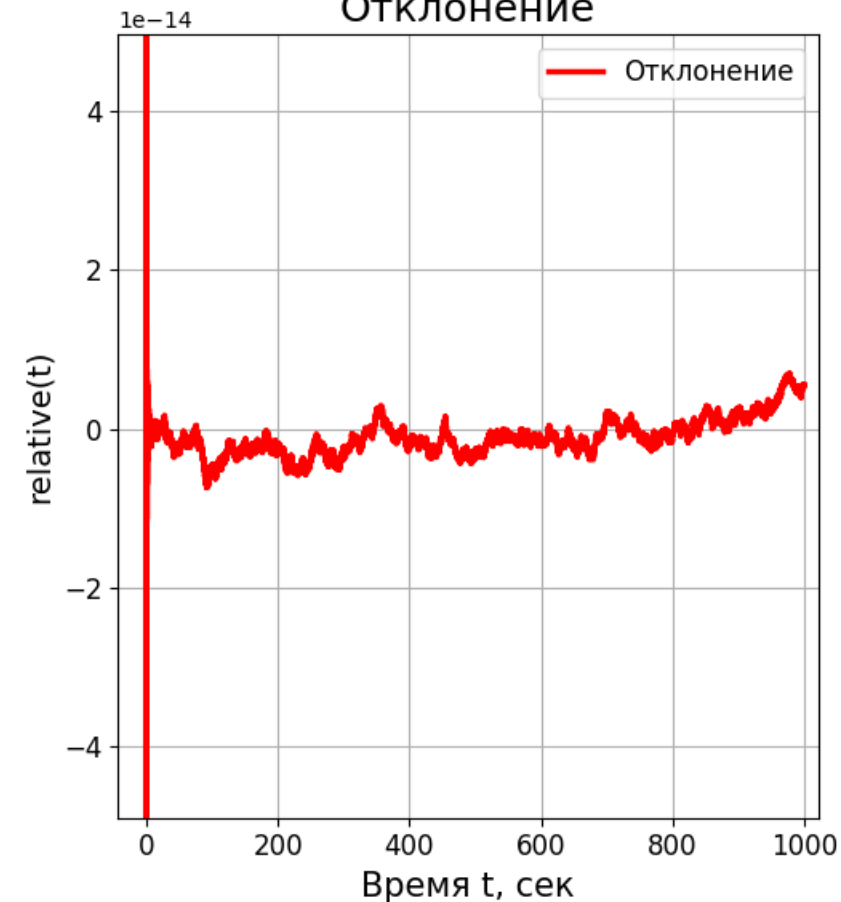
Реализованный алгоритм РК4



Теоретическая зависимость



Отклонение



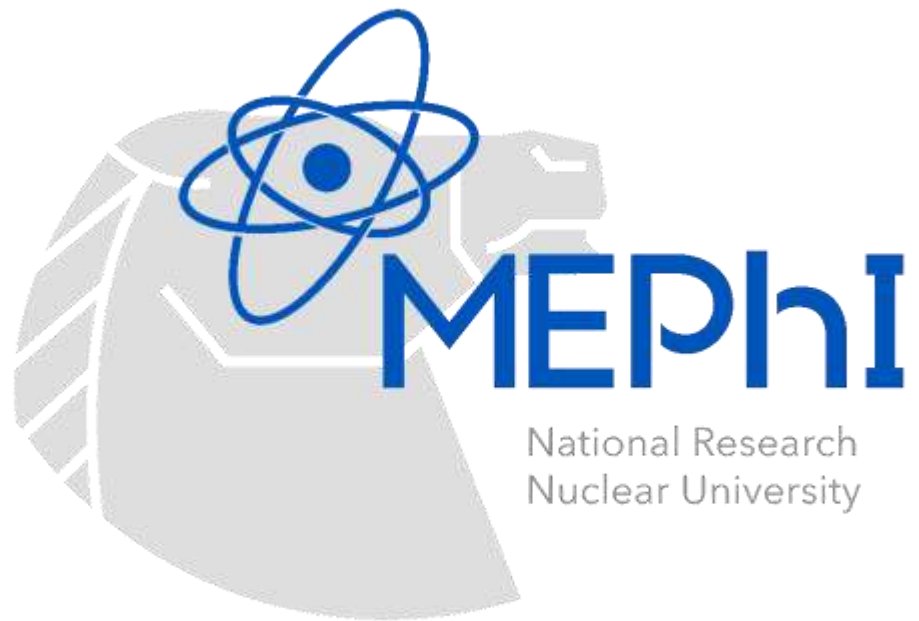
Заключение



В результате проделанной работы была изучена методика расчёта активностей радиоактивных изотопов. Был рассмотрен механизм рождения электронных антинейтрино в ядерном реакторе и схема расчёта зависимости энергетического спектра электронных антинейтрино от ядерного реактора от времени.

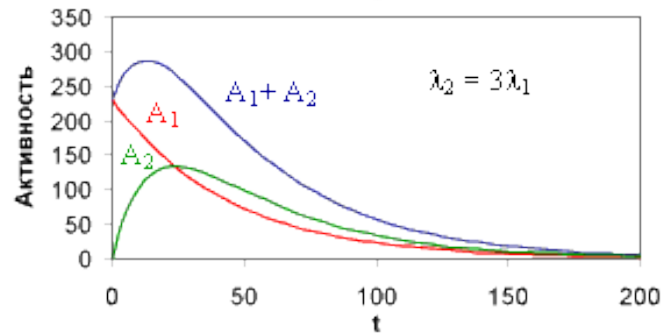
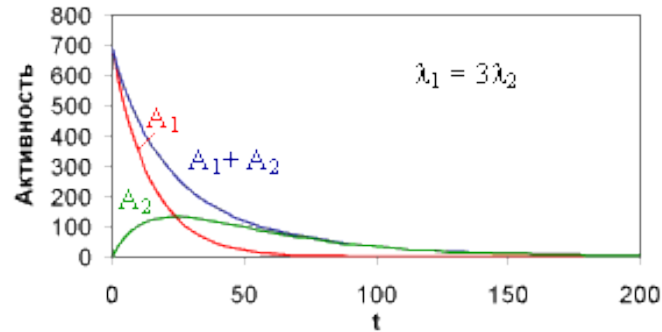
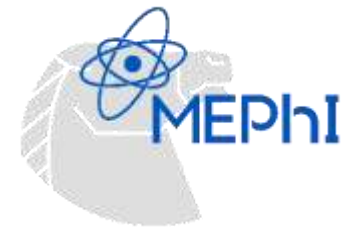
Реализован алгоритм Рунге-Кутты для решения системы уравнений Бейтмана в простейшем приближении и проведено сравнение реализованного алгоритма со встроенными. Выявлены особенности решения системы различными методами

Задачи, поставленные на данном этапе исследовательской работы достигнуты в полной мере. Дальнейшая работа будет заключаться в обобщении реализованного алгоритма на случай жёстких задач, а также планируется учесть первые слагаемые в неоднородности системы уравнений Бейтмана.



**Спасибо
за
внимание!**

Вековое равновесие

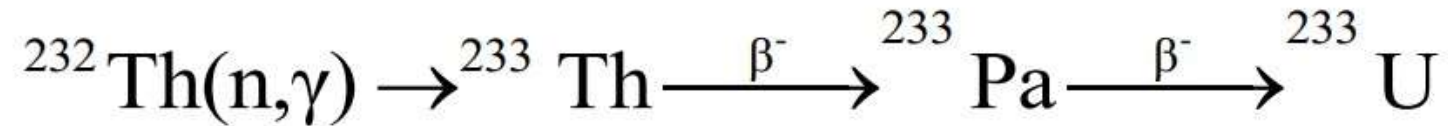


$$\frac{N_1}{N_2} = \frac{\lambda_2}{\lambda_1} = \frac{T_{1/2}^{(1)}}{T_{1/2}^{(2)}}$$

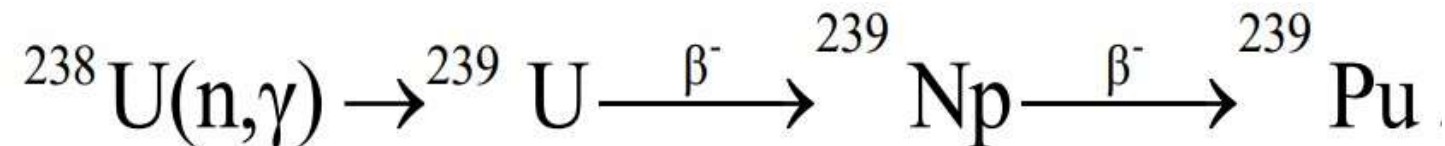
Вековое равновесие заключается в том, что число распадов (активность) всех изотопов цепочки равно друг другу, и если исходный изотоп имеет очень большое время жизни (постоянная активность), то никакого изменения активности и у дочерних радиоактивных элементов не наблюдается. С достаточной точностью можно считать, что вековое равновесие наступает за время, равное **десятикратному периоду** полураспада наиболее долгоживущего дочернего элемента:

Основные процессы протекающие в ядерном реакторе

- **торий-урановый ЯТЦ** – когда в качестве основного воспроизводящего (сырьевого) нуклида используется Th232



- **Уран-плутониевый ЯТЦ** – когда в качестве основного воспроизводящего нуклида используется U 238



Методы

Одношаговые

$$y(x_{k+1}) = y(x_k) + hf(x_k, y_k), k = 0, 1, 2, \dots, M$$

Метод Эйлера

Многошаговые

$$y_{k+1} = y_k + h \sum_{i=1}^s b_i K_i$$
$$K_i = f(x_k + c_i h, y_k + h \sum_{j=1}^{i-1} a_{ij} K_j)$$

Метод Рунге-Кутты

Явные

Неявные

Аналитическое решение простейшей системы

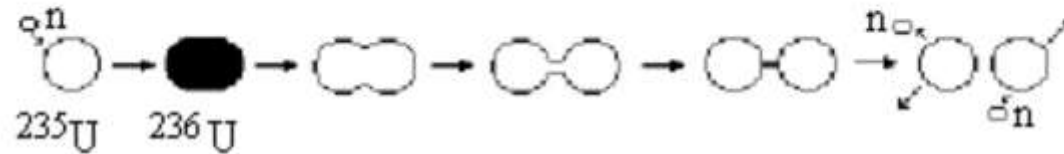
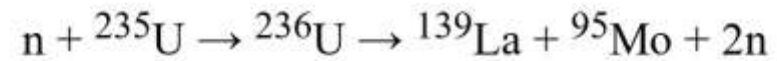


Решение:

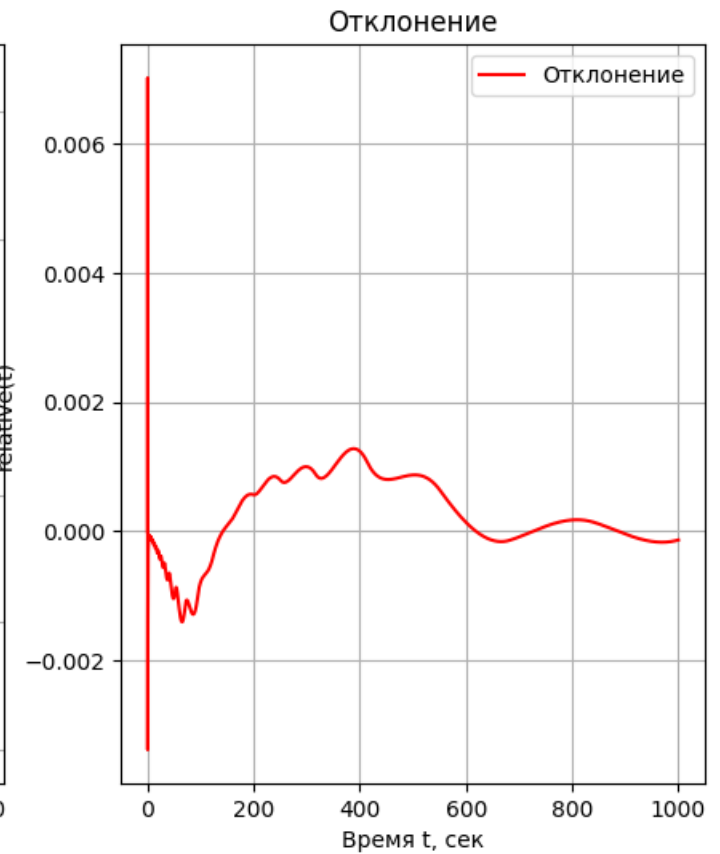
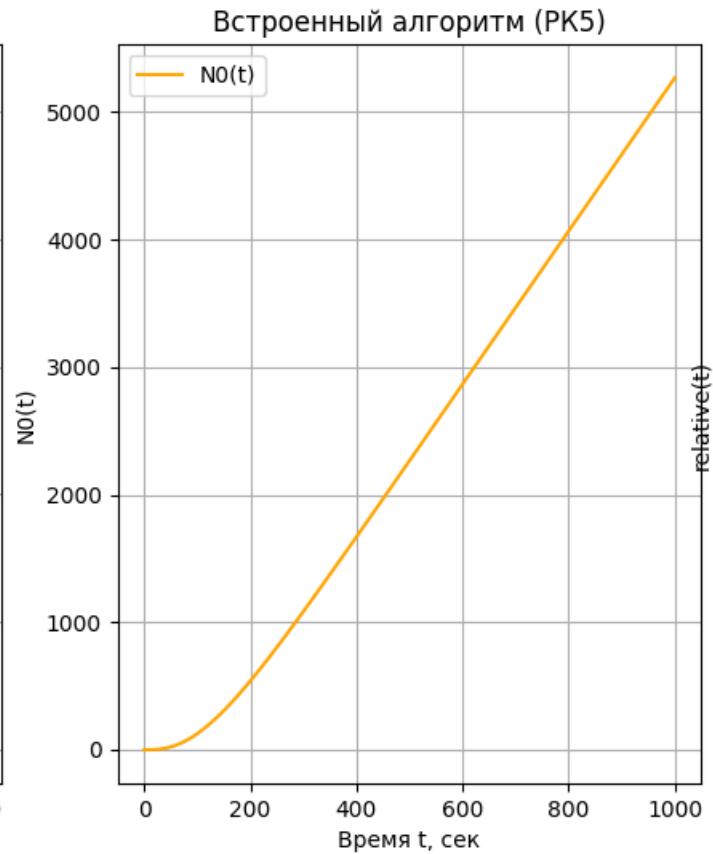
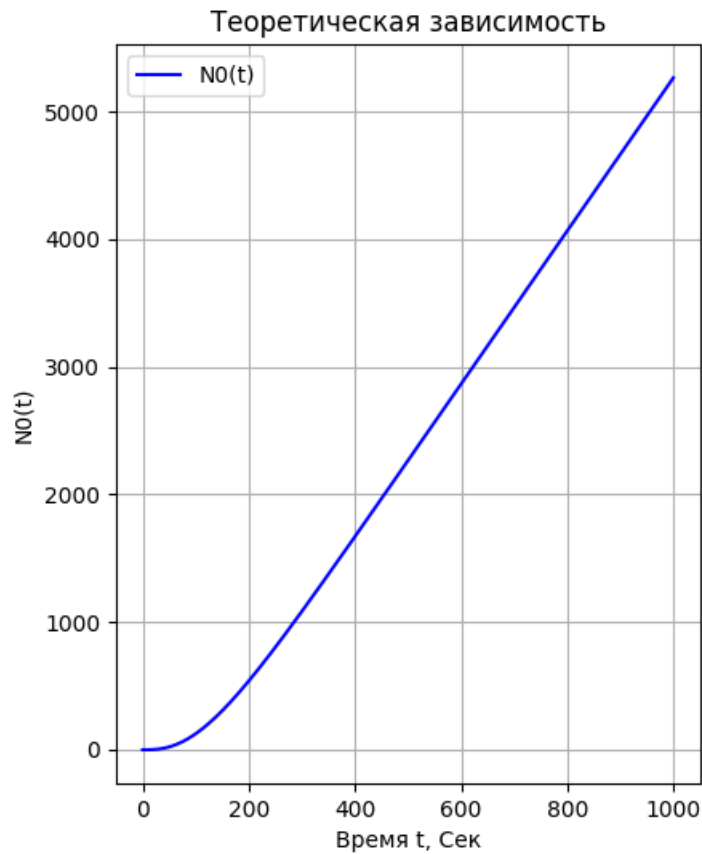
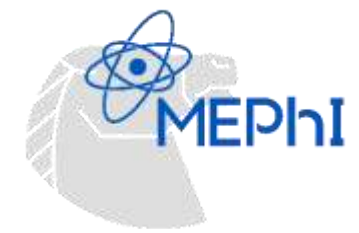
$$\begin{cases} N_0(t) = -\frac{R\lambda_1}{\lambda_2(\lambda_1-\lambda_2)}e^{-\lambda_2 t} + Rt - R\left(\frac{1}{\lambda_1-\lambda_2} - \frac{1}{\lambda_1}\right)e^{-\lambda_1 t} - \frac{R\lambda_1}{\lambda_2(\lambda_1-\lambda_2)} + R\left(\frac{1}{\lambda_1-\lambda_2} - \frac{1}{\lambda_1}\right) \\ N_1(t) = -\frac{R}{\lambda_1-\lambda_2}e^{-\lambda_2 t} + \frac{R}{\lambda_1} + R\left(\frac{1}{\lambda_1-\lambda_2} - \frac{1}{\lambda_1}\right)e^{-\lambda_1 t} \\ N_2(t) = \frac{R}{\lambda_2}(1 - e^{-\lambda_2 t}) \end{cases}$$

Основные процессы протекающие в ядерном реакторе

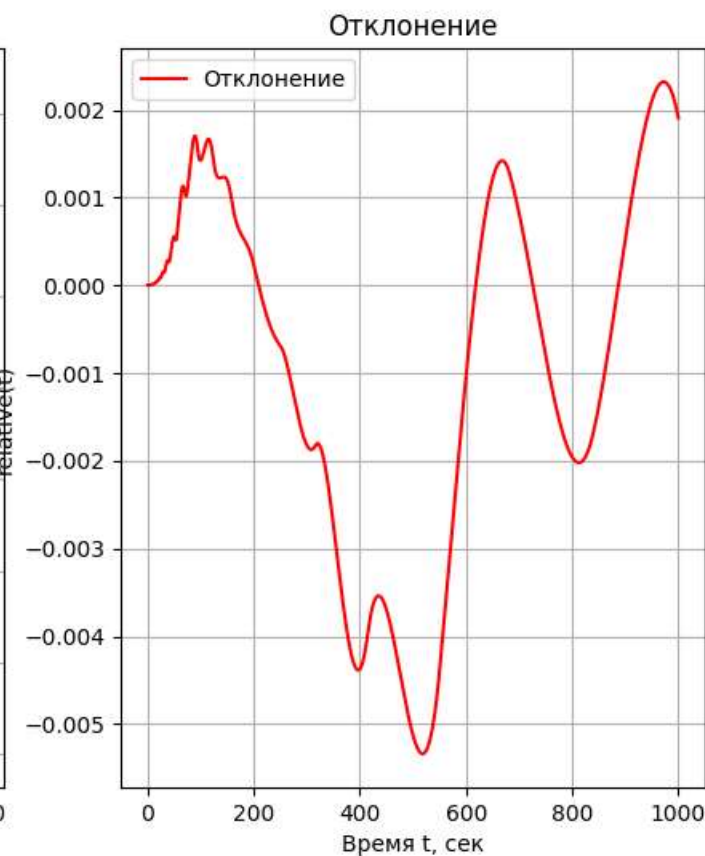
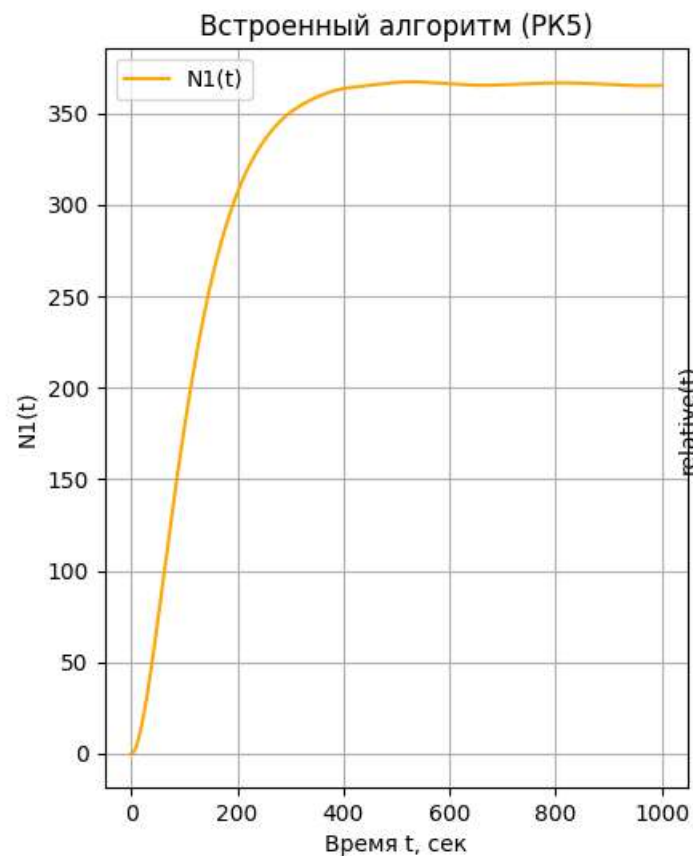
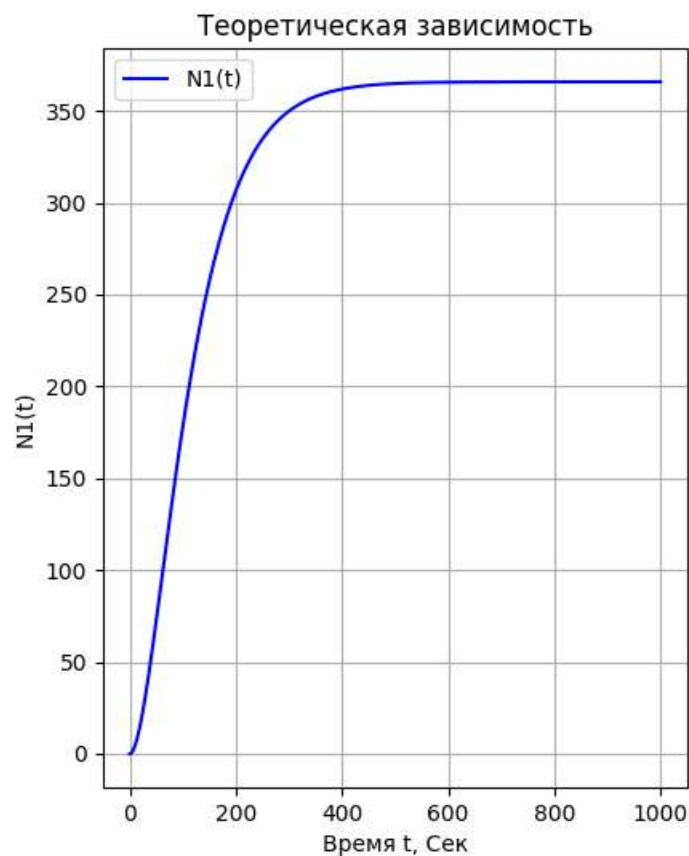
- Пример процесса деления топливного урана в ядерном реакторе



Реализация алгоритма и анализ



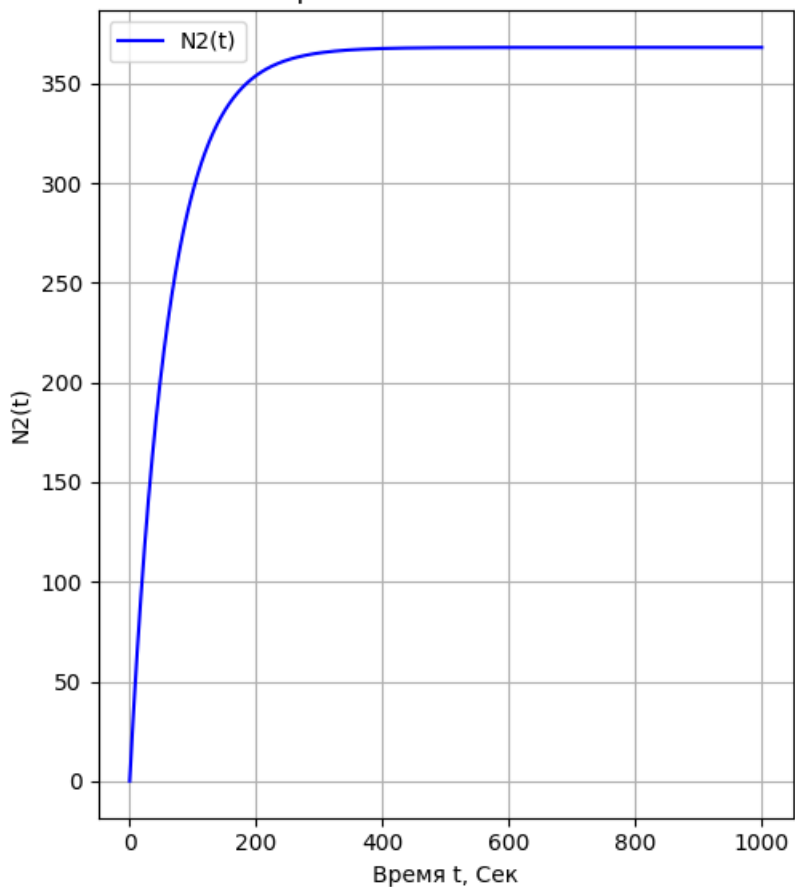
Реализация алгоритма и анализ



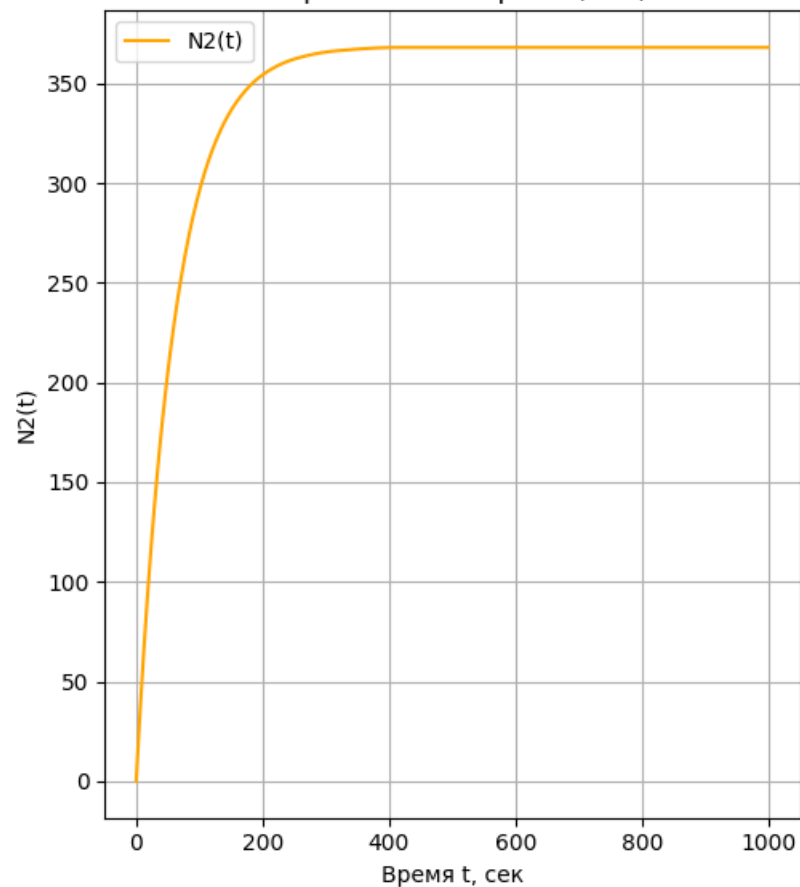
Реализация алгоритма и анализ



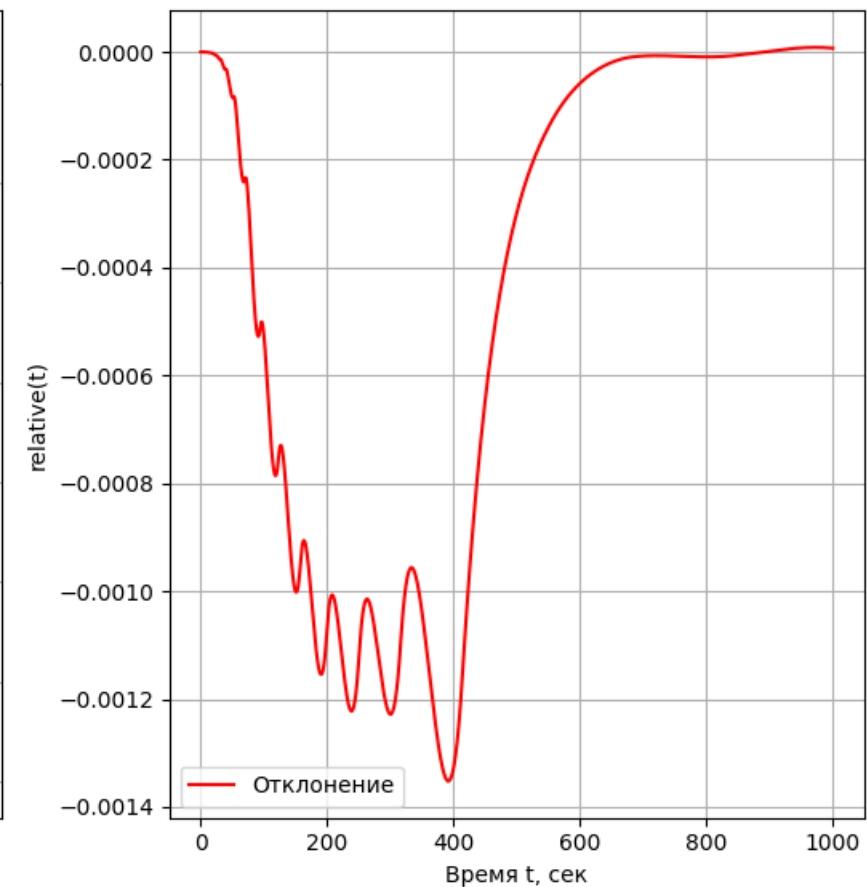
Теоретическая зависимость



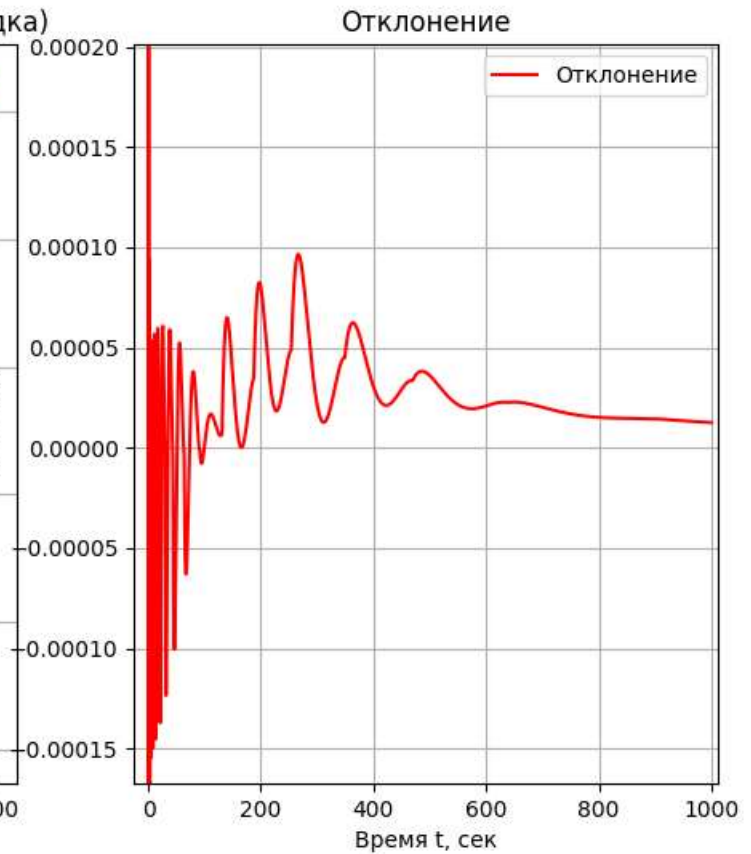
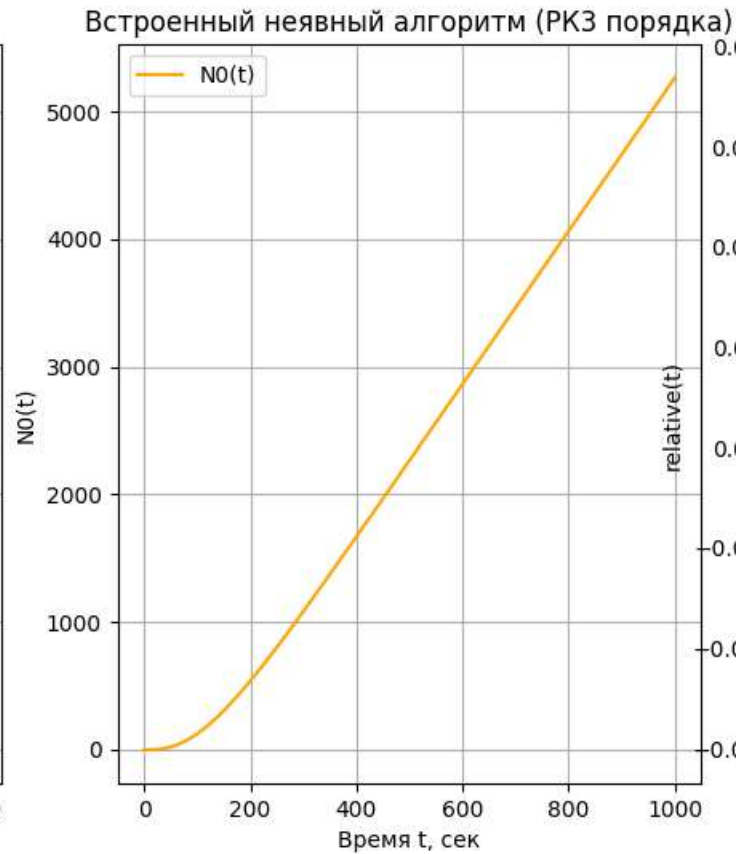
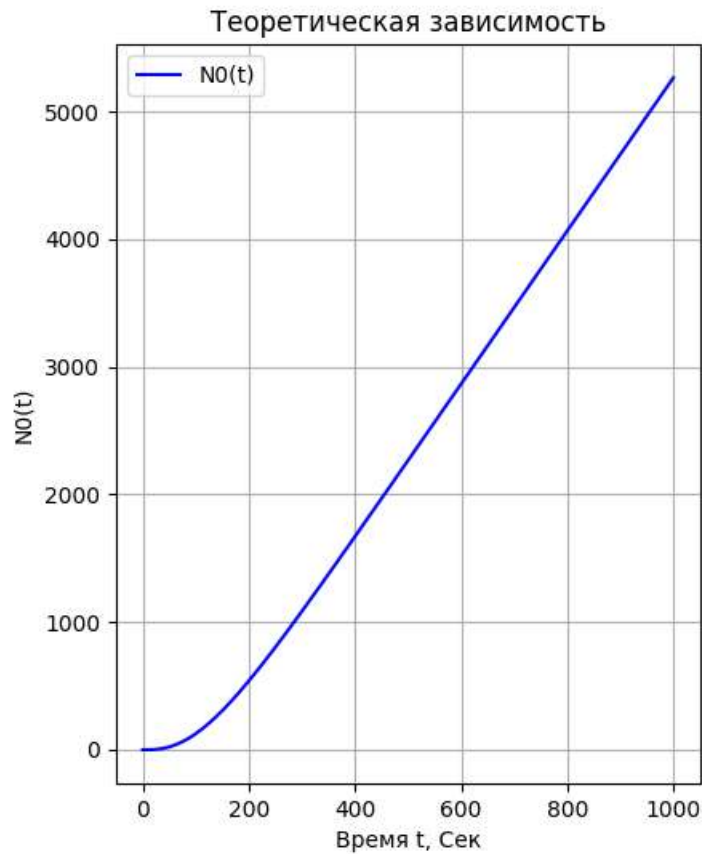
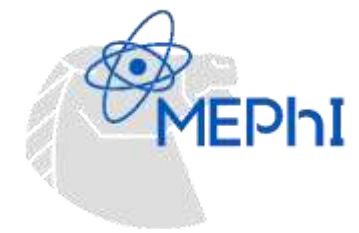
Встроенный алгоритм (PK5)



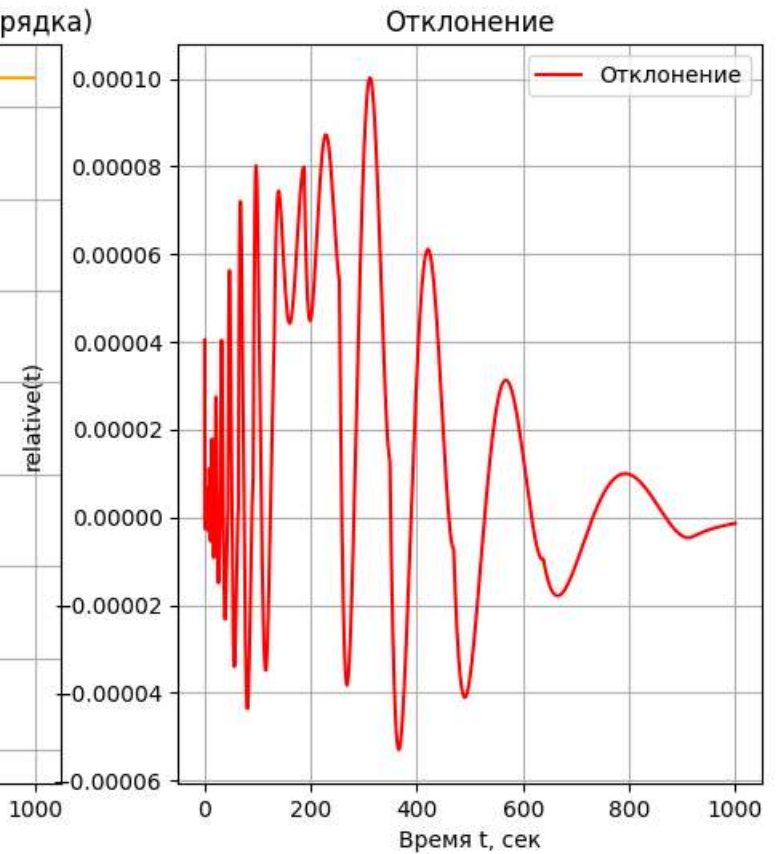
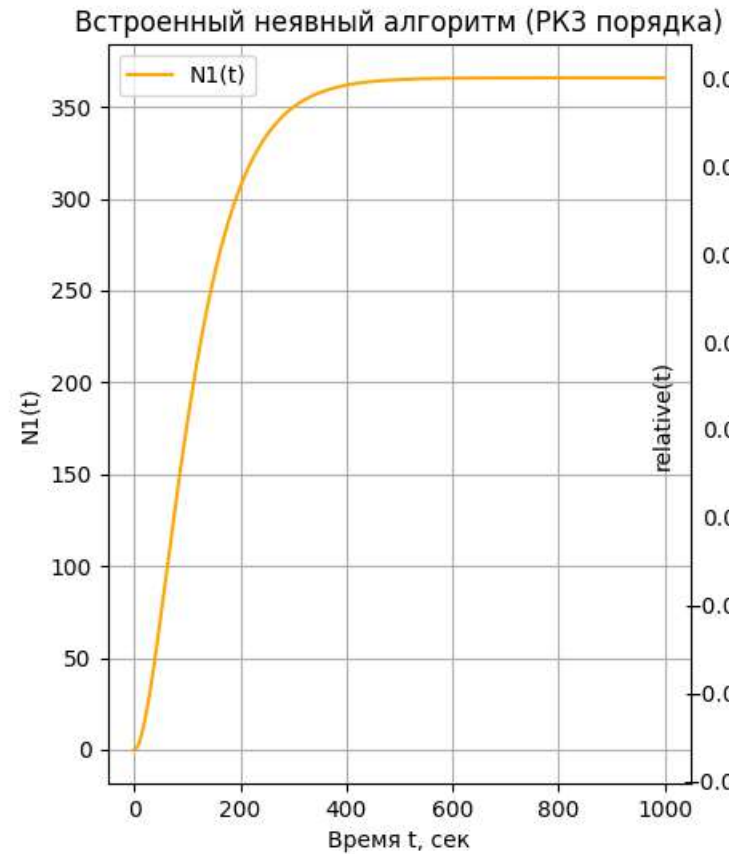
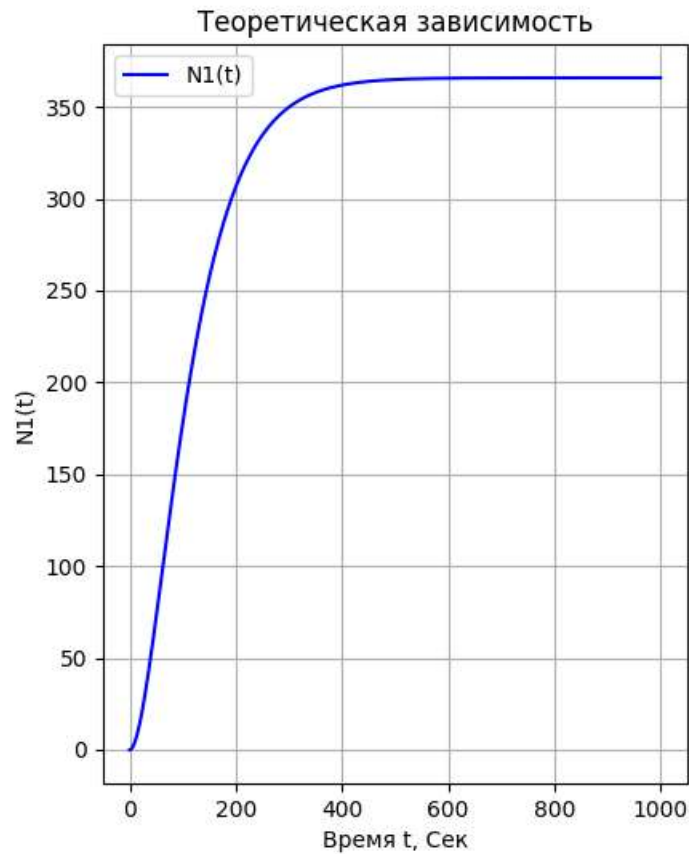
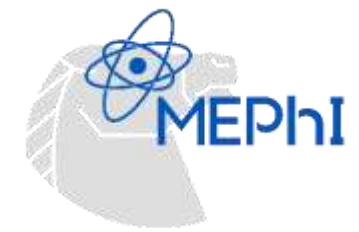
Отклонение



Реализация алгоритма и анализ



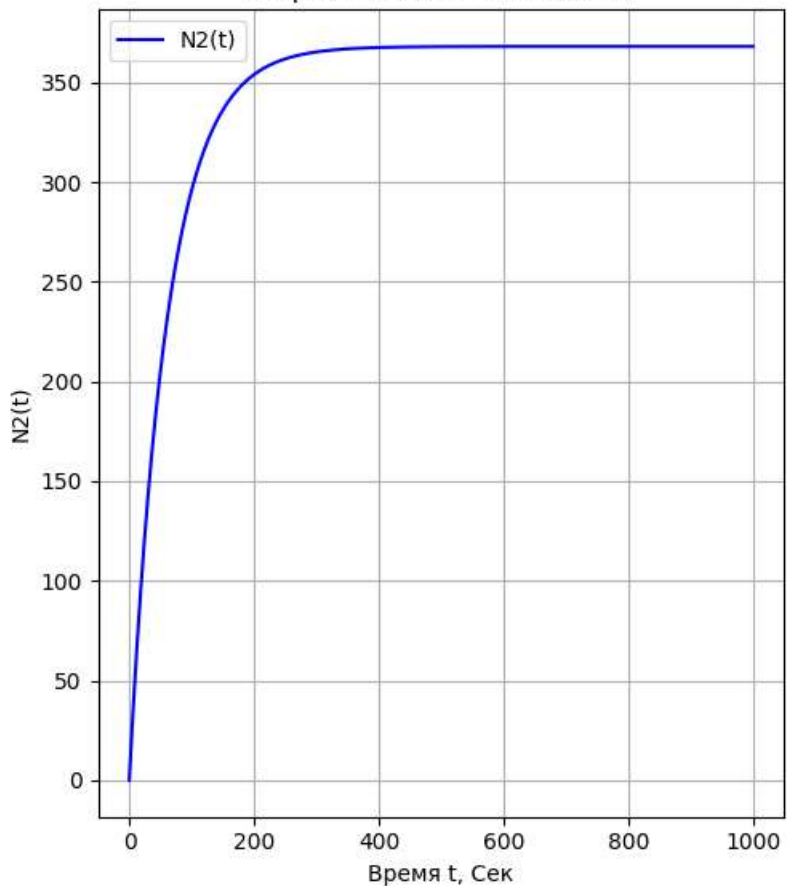
Реализация алгоритма и анализ



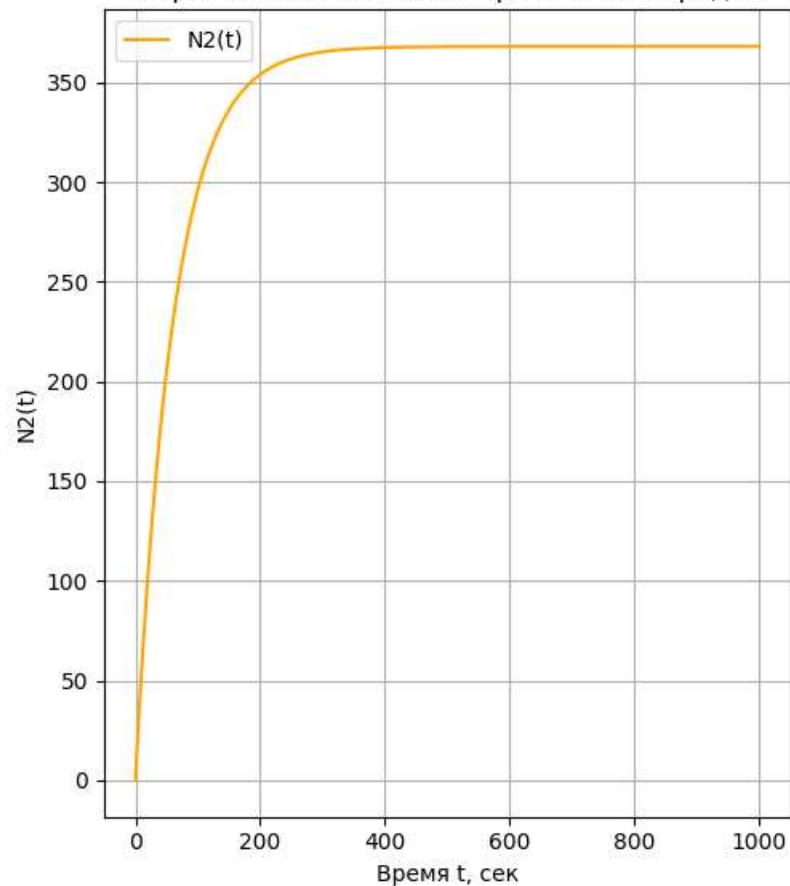
Реализация алгоритма и анализ



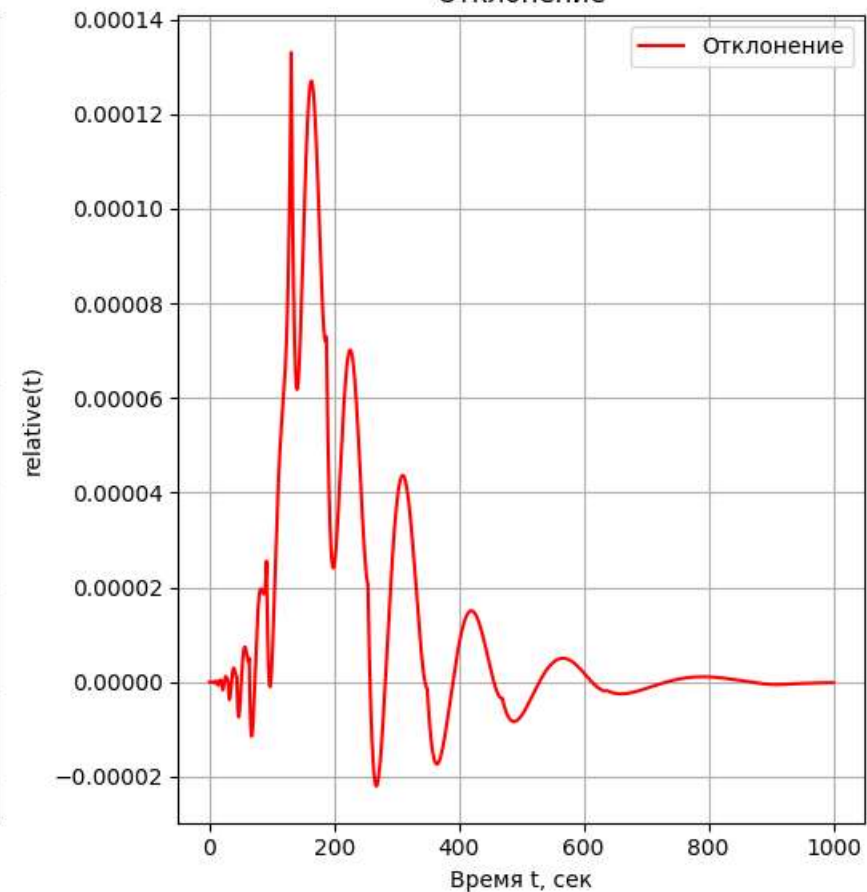
Теоретическая зависимость



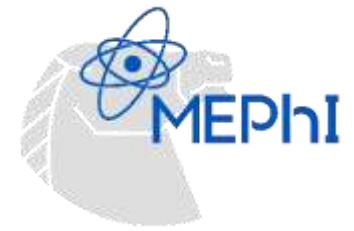
Встроенный неявный алгоритм (РК3 порядка)



Отклонение



Анализ результатов



- Реализованный алгоритм описывает решение с наименьшим отклонением
- Встроенное решение неявным методом Рунге-Кутты является более точным, чем встроенное решение явным методом
- Аналитическое решение в «области жёсткости» задачи перестаёт точно описывать решение системы
- Наиболее точно в «области жёсткости» задачу описывает встроенный неявный метод Рунге-Кутты